

朱俊灵, 叶佐东, 邓洁汝,等. 猪瘟病毒 RT-LAMP-LFD 检测方法的建立与应用[J]. 华南农业大学学报,2016,37(1):1-7.

猪瘟病毒 RT-LAMP-LFD 检测方法的建立与应用

朱俊灵[†],叶佐东[†],邓洁汝,勾红潮,陈金顶(华南农业大学兽医学院,广东广州510642)

摘要:【目的】建立一种新型的、能在基层场地进行实时便捷诊断的猪瘟病毒检测方法。【方法】环介导等温扩增技术(Loop-mediated isothermal amplification, LAMP) - 横向流动试纸条技术(Lateral flow dipstick, LFD)相结合,针对猪瘟病毒(Classical swine fever virus, CSFV) NS5B 基因设计一套特异性引物及生物素标记探针,结合异硫氰酸荧光素标记的扩增产物,建立 RT-LAMP-LFD 检测方法。【结果】所建立的方法能够特异地检测出 CSFV 的存在,检测PRRSV、JEV、PCV-2 等其他病毒均为阴性;所建立的 CSFV-RT-LAMP 方法对 RNA 的最低检测限为 50 pg;反应快速,整个扩增反应可在 1 h 内完成;操作简单,不需要 PCR 仪等复杂的仪器,结果可经肉眼观察。【结论】应用 RT-LAMP-LFD 检测 CSFV 特异性强、灵敏度高,并且操作安全、简便、快捷,可以满足基层检疫的需要。

Rapid detection of classical swine fever virus by loop-mediatedisothermal amplification combined with lateral flow dipstick method

ZHU Junling[†], YE Zuodong[†], DENG Jieru, GOU Hongchao, CHEN Jinding (College of Veterinary Medicine, South China Agricultural University, Guangzhou 510642, China)

Abstract: [Objective] The experiment was conducted to establish a rapid real time detection method of classical swine fever virus at local fields. [Method] A rapid detection method (RT-LAMP-LFD) of classical swine fever virus (CSFV) was developed by loop-mediated isothermal amplification (LAMP) combined with lateral flow dipstick (LFD) method. The LAMP method for amplification of the CSFV NS5B gene using fluorescein isothiocyanate-labeled primer was combined with a chromatographic LFD for rapid and simple visual detection of CSFV. [Result] This method could specifically detect CSFV, but not other virus such as PRRSV, JEV and PCV-2. The minimum detection limit of the CSFV-RT-LAMP-LFD method was 50 pg. The detection could be finished within 1 h without using complex instruments such as PCR machine and the results were visible by eye. [Conclusion] This RT-LAMP-LFD method is a highly specific and sensitive, safe, rapid and simple way for field detection of CSFV infection.

Key words: classical swine fever virus; NS5B gene; LAMP; LFD; virus detection

猪瘟(Classical swine fever, CSF)是由猪瘟病毒(Classical swine fever virus, CSFV)引起的猪的一种高度接触性、急性传染病。该病的高发病率和高死

亡率给养猪业造成巨大的经济损失,严重危害畜牧业的发展^[1-2]。目前对 CSFV 的实验室诊断方法主要包括细胞培养分离病毒、实时 RT-PCR 等病原学方

收稿日期:2015-04-13 优先出版时间:2015-12-07

优先出版网址; http://www.cnki.net/kcms/detail/44.1110.s.20151207.1115.002.html

作者简介:朱俊灵(1989—),男,硕士研究生,E-mail: 919736608@qq.com; 叶佐东(1990—),男,硕士研究生,E-mail: zuodongye @126.com; ** 对本文贡献相同;通信作者:陈金顶(1968—),男,教授,博士,E-mail: jdchen@scau.edu.cn

基金项目: 国家自然科学基金(U1405216, 31172321 和 31472200);广东省高等教育科技创新特殊项目(2012CXZD0013)

法,以及酶联免疫吸附试验(ELISA)、间接免疫荧光试验(IFA)和中和试验(NT)等血清学方法^[3-6]。病毒分离通常是确诊疫病的经典方法,但由于 CSFV 不同毒株的毒力差异很大, CSFV 感染猪的临床症状和病理变化差别很大, 一般很难根据临床表现和病理变化来确诊;实时荧光 RT-PCR 的方法快速、灵敏,但对于设施设备等试验条件的要求较高;而 ELISA、IFA、NT等血清学方法在操作简便性、检测敏感性和特异性方面存在不足^[7-8]。因此,建立一种快速、简便、灵敏度较高的检测猪瘟病毒的方法十分有意义。

环介导等温扩增(Loop-mediated isothermal amplification, LAMP) 是在基因的 6 个区域设计 4 种特 异引物,然后在恒温条件下特异扩增目的 DNA 的技 术。与其他检测方法相比,该技术特异性强、灵敏度 高、操作简便,无特殊设备要求,适用于基层及现场 诊断使用^[9]。横向流动试纸条(Lateral flow dipstick, LFD)法是利用含有生物素 (Biotin) 标记的 LAMP 扩增产物能与异硫氰酸荧光素(Fluorescein isothiocyanate, FITC)标记的探针特异性杂交,从而与胶体金 标记的抗 FITC 的抗体结合形成三元复合物,结合在 含生物素抗体的检测线上,而未杂交的 FITC 标记探 针形成不含生物素的两元复合物,结合在含抗 FITC 的质控线上[10]。近年来, LAMP-LFD 检测方法已经 成功用于许多动物病毒性病原的检测。其优势在于 不仅快速、特异、操作简单,而且避免了琼脂糖凝胶 电泳或荧光染料染色肉眼观察所引起的假阳性。

本研究针对 CSFV NS5B 基因的保守区域序列设计 LAMP 引物。建立了猪瘟病毒 RT-LAMP 方法,然后结合 LFD 技术,建立了一种猪瘟病毒 RT-LAMP-LFD 检测方法,该方法简单、快速、灵敏度高,为基层养殖场和兽医站提供了 CSFV 初步筛选检测的理想方法。

1 材料与方法

1.1 病毒

猪瘟病毒 GXW-07 株、石门株,日本乙型脑炎病毒(Japanese encephalitis virus,JEV)SA14-14-2 株,猪繁殖与呼吸综合征病毒(Porcine reproductive and respiratory syndrome virus,PRRSV)GD08-2 株,胸膜肺炎放线杆菌(Actinobacillus pleuropneumoniae,APP)均由华南农业大学兽医学院微生物学与免疫学教研室保藏;猪圆环病毒 2型(Porcine circovirus-2,PCV-2)LG株油乳剂灭活疫苗购自上海海利生物科技有限公司;伪狂犬病毒(Pseudorabies virus,PRV)Bartha-K61 株灭活疫苗购自哈尔滨维科生物科技有限公司。

1.2 主要试剂

dNTP、AMV 反转录酶、DNA 提取试剂盒、RNA http://xuebao.scau.edu.cn

提取试剂盒、RRI、Ex-Taq DNA 聚合酶和琼脂糖为TaKaRa 公司产品;Bst DNA 聚合酶为 New England 公司产品;硫酸镁、甜菜碱(Betaine)、氯化锰、钙黄绿素(Calcein)为美国 Sigma 公司产品;RT-LAMP 引物由华南农业大学微生物教研室设计,由上海生工生物工程有限公司合成;核酸试纸条密闭反应装置(LFD)为中国杭州优思达公司产品。

1.3 主要仪器

高压灭菌锅为日本 Sanyo MLS-320 产品。纯水仪为瑞士 ELAG 电子有限公司产品。台式冷冻高速离心机为美国 Thermo 公司产品。小型高速离心机为德国 Eppendorf 公司产品。LX-100 手掌型离心机为江苏海门市其林贝尔仪器制造有限公司产品。凝胶图像分析系统为 MOLECULAR IMAGING 公司产品。ABI 9700PCR 扩增仪为美国 ABI 公司产品。DK-8D 型电热恒温水槽为上海森信实验仪器有限公司产品。BIO-RAD 电泳仪为 Powerpac Basic 公司产品。

1.4 病毒核酸提取

根据 MiniBEST Viral RNA/DNA Extraction Kit Ver. 5.0 说明书进行 DNA/RNA 抽提。

1.5 引物和荧光探针的设计合成

运用 Primer Primier5. 0 软件,针对 CSFV NS5B 基因的保守序列设计1对 PCR 引物 P1和 P2(表1)。根据 LAMP 引物设计原则,应用在线引物设计软件 Primer Exporer 4. 0 针对 CSFV NS5B 基因的保守区域序列(GenBank No. EU915211.1),进行 LAMP 引物设计。引物包括1对外引物(F3和 B3)、1对内引物(FIP和 BIP)、1条环引物(LB)以及1条探针(Probe)(表1),所有引物由上海生工生物工程技术服务有限公司合成并标记(图1)。

1.6 环介导等温扩增技术扩增条件的优化

1.6.1 CSFV RT-LAMP-LFD 检测方法的建立 以猪瘟病毒 GXW-07 株基因组 RNA 为模板,25 μ L 反应体系包含: $10 \times \text{Thermopol Buffer } 2.5 \mu\text{L}, \text{dNTP}$ (2.5 mmol·L⁻¹)4.0 μ L、甜菜碱(10 mol·L^{-1})4.0 μ L、FIP($10 \text{ } \mu \text{mol·L}^{-1}$)+BIP($10 \text{ } \mu \text{mol·L}^{-1}$)4.0 μ L、LF($10 \text{ } \mu \text{mol·L}^{-1}$)+BIP($10 \text{ } \mu \text{mol·L}^{-1}$)2.0 μ L、F3($10 \text{ } \mu \text{mol·L}^{-1}$)+B3($10 \text{ } \mu \text{mol·L}^{-1}$)0.5 μ L、Probe ($10 \text{ } \mu \text{mol·L}^{-1}$)2.0 μ L、硫酸镁($100 \text{ } \text{mmol·L}^{-1}$)0.5 μ L、AMV 反转录酶($5 \text{ } \text{U·} \mu \text{L}^{-1}$)0.5 μ L、模板 RNA 5 μ L,加 DEPC 水至 25 μ L。阴性对照不加模板。每个反应至少重复 3 次,用 20 g·L⁻¹的琼脂糖凝胶电泳检测扩增结果。

	表 1	CSFV	RT-LA	MP-LFD	引物序列	ij
Tab. 1	Prir	ner seo	mences	of CSFV	RT-LAN	1P-LFI

引物名称	引物序列 (5'→3')
P1	CCTGAGGACCAAACACATGTTG
P2	TGGTGGAAGTTGGTTGTCTC
F3	GGAAAGGGCAAAGAGGCA
В3	CGAGAGCCCTTTCTGTGATC
Probe	CCACGGGAGTACCCTACAAGAG-Biotin
LB	FITC-GACAGGGTGGCAAAAATTCATG
FIP(F1c + F2)	CCTCGCAGAAGGCGTAAACCATGTGGACAACCTGACACAAGC
BIP(B1c + B2)	ACGGGAGTACCCTACAAGAGCTAACCATCATCCCCGCACA

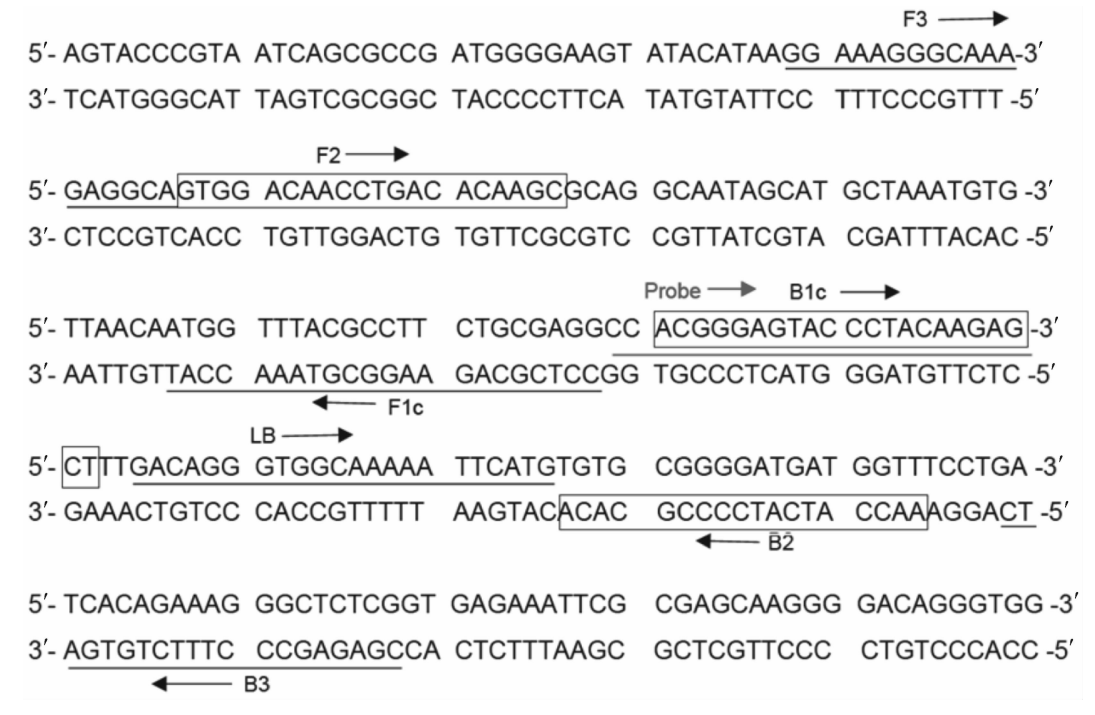


图 1 CSFV RT-LAMP-LFD 引物设计示意图 Fig. 1 Diagrams of CSFV RT-LAMP-LFD primers

1.6.2 CSFV RT-LAMP 反应条件优化 分别在 59、60、61、62、63、64、65、66 ℃ 8 个温度梯度进行 RT-LAMP 反应,根据扩增效果确定最佳反应条件。分别设计 10、20、30、40、50、60、70 min 7 个时间梯度,在已优化得到的最佳反应温度下进行 RT-LAMP 反应,根据扩增效果确定最佳反应条件。

 聚合酶浓度梯度进行 RT-LAMP 反应,以优化的条件和成分,根据扩增效果得出 CSFV RT-LAMP 反应的最佳 Bst DNA 聚合酶浓度。分别按 1.0、1.5、2.0、2.5、5.0 U 5 个 AMV 反转录酶浓度梯度进行 RT-LAMP 反应,以优化的条件和成分,根据扩增效果得出 CSFV RT-LAMP 反应的最佳 AMV 反转录酶浓度。以外引物的用量为参照,设计外引物与环引物的比例分别为 1:0、1:1、1:2、1:4、1:6、1:8 共6 个梯度,以优化的条件和成分,根据扩增效果得出 CSFV RT-LAMP 反应的最佳环引物浓度。

1.7 CSFV RT-LAMP-LFD 方法的特异性分析

PRRSV GD08-2 株、JEV SA14-14-2 株基因组RNA,PCV-2、PRV、APP 的基因组 DNA 为模板作为特异性对照,按优化的条件,检测该方法的特异性,同时以 CSFV GXW-07 株、CSFV 石门株为阳性对照,每个反应至少重复 3 次。其中 5 μ L 反应产物用于 20 g·L⁻¹琼脂糖凝胶电泳进行检测,剩余 20 μ L 产

http://xuebao.scau.edu.cn

物用于 LFD 检测。

1.8 CSFV RT-LAMP-LFD 方法的灵敏度分析

抽提 CSFV GXW-07 株的 RNA 模板并制备出 CSFV 标准品($10 \text{ ng} \cdot \mu \text{L}^{-1}$)作为初始模板,将初始模板进行 10 倍梯度稀释($10^{-1} \sim 10^{-7}$),按优化的条件进行反应。反应产物分别用 LFD、钙黄绿素 – 可视化 RT-LAMP、 $20 \text{ g} \cdot \text{L}^{-1}$ 琼脂糖凝胶电泳进行检测。每个试验至少重复 3 次。

1.9 CSFV RT-PCR 方法

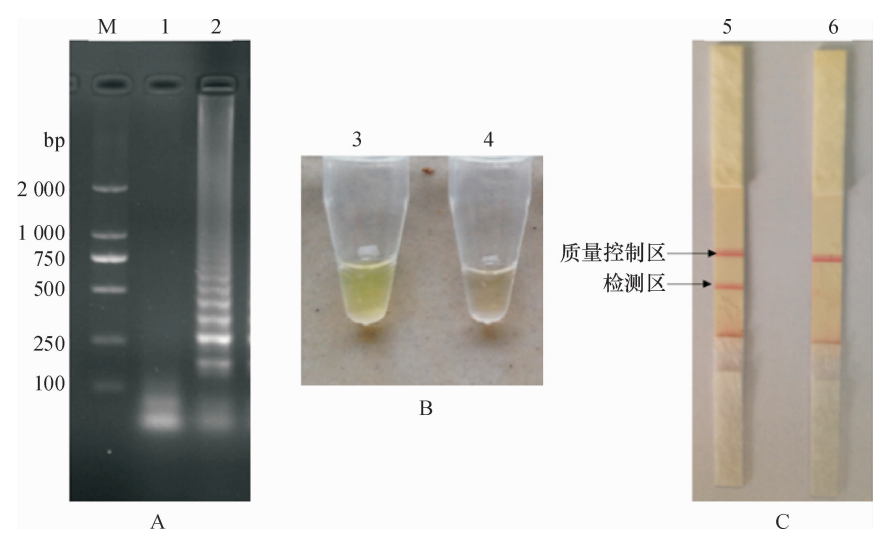
参照试剂盒说明书进行 RNA 抽提,逆转录的反应体系 20 μL: $5 \times AMV$ Buffer $4 \mu L$ 、dNTP (10 mmol·L⁻¹)2 μL、RNase inhibitor (40 U) 0.5 μL、Random primer (50 pmol)1 μL、AMV(5 U)1 μL、RNA10 μL,补 DEPC 水至 20 μL。42 ℃反应1 h。获得的 cDNA 作模板, P1、P2 作为上、下游引物进行PCR。PCR 反应体系 25 μL:10 × PCR Buffer 2.5 μL、dNTPs (2.5 mmol)2 μL、P1 (10 μmol) 和 P2 (10 μmol) 各 0.5 μL、Ex-Taq (5 U) 0.25 μL、模板 2 μL,

加双蒸水至 25 μL。PCR 反应条件:95 ℃ 预变性 3 min;95 ℃变性 30 s,52 ℃退火 30 s,72 ℃延伸 30 s, 30 个循环;72 ℃终延伸 10 min。

2 结果

2.1 CSFV RT-LAMP-LFD 检测方法的建立

以猪瘟病毒 GXW-07 株 RNA 为模板进行 RT-LAMP 反应,反应后的产物分别用 20 g·L⁻¹凝胶电泳、钙黄绿素法以及 LFD 进行检测,验证检测方法的可行性。琼脂糖凝胶电泳结果显示 CSFV 阳性模板有梯状条带而空白对照无条带(图 2A);钙黄绿素法的结果显示 CSFV 阳性模板结果出现荧光绿色而空白对照为橘黄色(图 2B); RT-LAMP-LFD 结果显示, CSFV 阳性模板出现 2 条红色条带,分别位于检测区(T)内和质量控制区(C)内,而空白对照组仅在质量控制区(C)出现 1 条红色条带(图 2C)。结果表明,该 CSFV RT-LAMP-LFD 检测方法可行。



M:2 000 bp DNA marker; 1、4、6:空白对照; 2、3、5:CSFV 阳性模板。

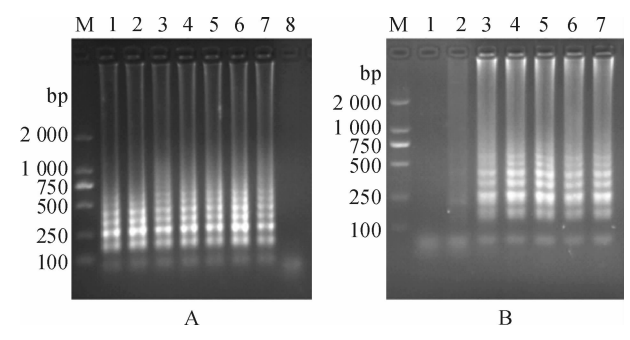
A: RT-LAMP 凝胶电泳检测方法;B:钙黄绿素-可视化 RT-LAMP 检测方法;C:RT-LAMP-LFD 检测方法。

图 2 CSFV RT-LAMP-LFD 检测方法的建立

Fig. 2 The establishment of CSFV RT-LAMP-LFD detection method

2.2 CSFV RT-LAMP 扩增条件的确立

在反应条件优化试验中,在 $59 \sim 66 \% 8$ 个不同温度间进行 RT-LAMP 反应,结果(图 3A)显示泳道 2 扩增条带最亮,因此选择 60 % CSFV RT-LAMP 反应的最佳反应温度;反应时间优化结果(图 3B)显示,从 30 min 时开始即可以通过琼脂糖凝胶电泳检测到 RT-LAMP 扩增产物,反应 50 min 后产物量趋于饱和,因此选定 50 min 为 CSFV RT-LAMP 反应的最佳反应时间。反应体系优化结果如图 4 ,CSFV RT-LAMP 最佳反应体系为: 3 mmol·L⁻¹的镁离子(图 4A),1.5 mol·L⁻¹甜菜碱(图 4B),0.5 mmol·L⁻¹

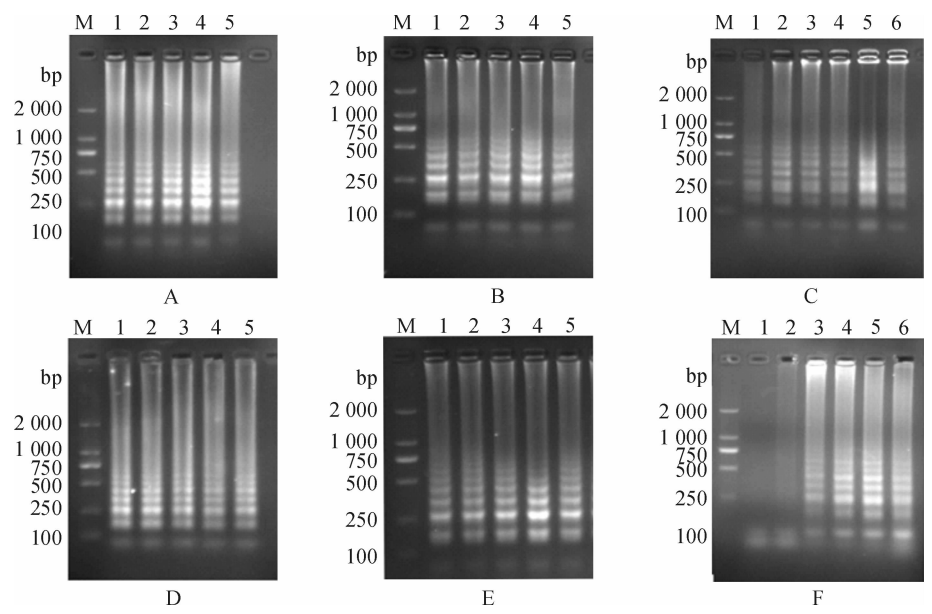


M:2 000 bp DNA marker; A:反应温度优化试验,1~8 分别为:59~66 ℃; B:反应时间优化试验,1~7 分别为:10~70 min。

图 3 CSFV RT-LAMP 反应条件优化

Fig. 3 Optimization of reaction conditions of CSFV RT-LAMP

的 dNTP(图 4C), 8 U 的 *Bst* DNA 聚合酶(图 4D)和 用量比为 1:4(图 4F)。 2.5 U 的 AMV 的逆转录酶(图 4E), 外引物与环引物



M:2 000 bp DNA marker; A: 硫酸镁浓度优化试验, $1 \sim 5$ 分别为:0.5、1.0、2.0、3.0 、4.0 mmol·L⁻¹ 硫酸镁; B: 甜菜碱浓度优化试验, $1 \sim 5$ 分别为:0.0、5、1.0 、1.5 、2.0 mol·L⁻¹ 甜菜碱;C: dNTP 浓度优化试验, $1 \sim 6$ 分别为:0.1 、0.2 、0.3 、0.4 、0.5 、0.6 mmol·L⁻¹ dNTP; D: Bst DNA 聚合酶浓度优化试验, $1 \sim 5$ 分别为:4、8、12、16、20 U Bst DNA 聚合酶;E: AMV 逆转录酶浓度优化试验, $1 \sim 5$ 分别为:1.0、1.5 、2.0 、2.5 、5.0 U AMV 逆转录酶;F: 外引物与环引物的用量比例优化试验, $1 \sim 6$ 示外引物与环引物用量比分别为:1.0 、1.1

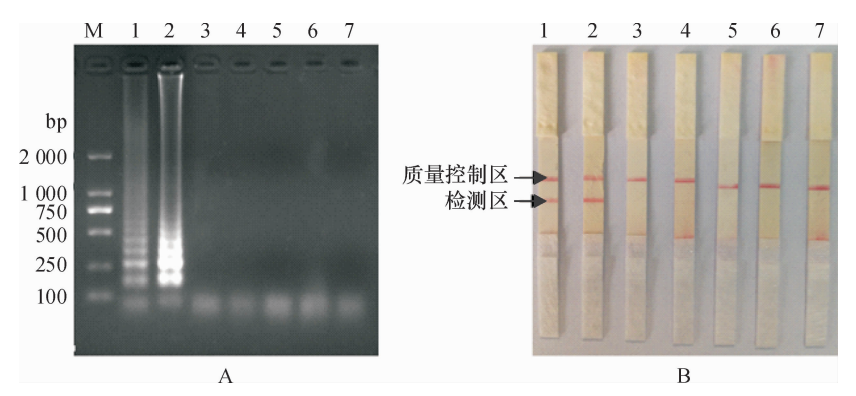
图 4 CSFV RT-LAMP 反应体系优化

Fig. 4 Optimization of reaction components of CSFV RT-LAMP

2.3 CSFV RT-LAMP-LFD 检测方法特异性分析

为了确认 CSFV RT-LAMP-LFD 检测方法的特异性,用优化的条件,分别以 PRRSV、JEV、PCV-2、PRV、APP、CSFV GXW-07 株和 CSFV 石门株的核酸模板进行 RT-LAMP 方法检测,并用琼脂糖凝胶电泳

法作为方法对照。结果表明, CSFV GXW-07 株和石门株为阳性, 其余病原均为阴性(图 5), 该结果表明所建立的 CSFV RT-LAMP-LFD 检测方法具有良好的特异性。



M:2 000 bp DNA marker; 1~7 分别为:CSFV GWX-07 株、CSFV 石门株、APP、PCV-2、PRV、JEV、PRRSV;A:RT-LAMP 琼脂糖凝胶电泳检测;B:RT-LAMP-LFD 方法检测。

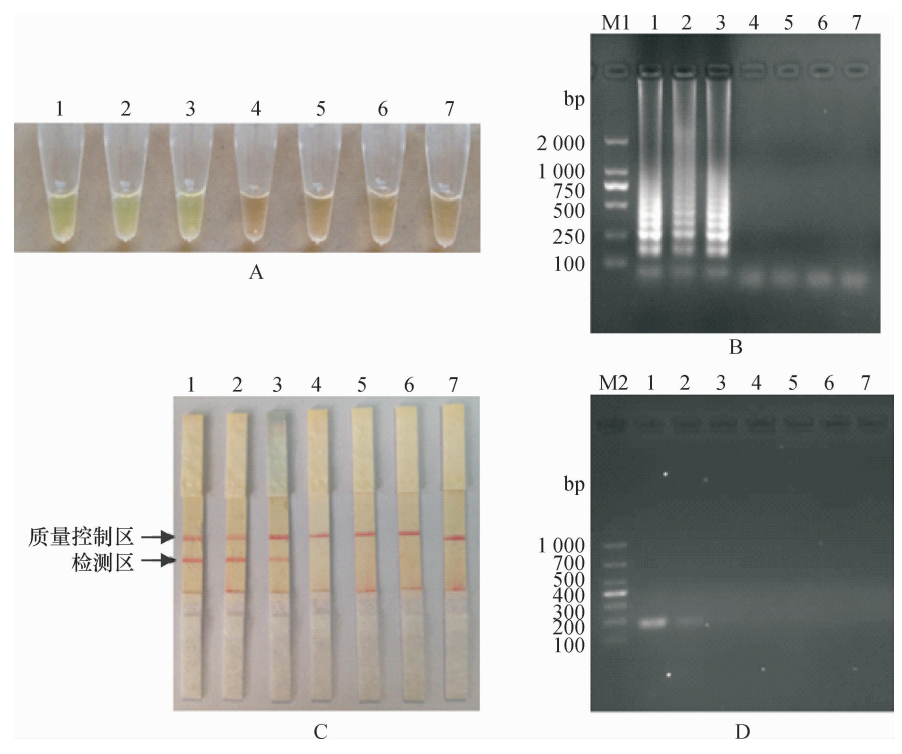
图 5 CSFV RT-LAMP-LFD 检测方法特异性分析

Fig. 5 The specificity of CSFV RT-LAMP-LFD detection method

2.4 CSFV RT-LAMP-LFD 检测方法的灵敏度 分析

对 CSFV GXW-07 株基因组 RNA 进行 10 倍梯 度稀释试验表明,钙黄绿素-可视化 RT-LAMP 方法

(图 6A)、RT-LAMP 琼脂糖凝胶电泳检测方法(图 6B)以及 RT-LAMP-LFD 检测方法(图 6C)的敏感性一致,最低检测模板浓度均为 50 pg,但比 RT-PCR 检测(500 pg)方法(图 6D)的灵敏度高 10 倍。



1:5 ng;2;500 pg;3:50 pg;4:5 pg;5:500 fg;6:50 fg;7:5 fg;M1:2 000 bp DNA marker;M2:1 000 bp DNA marker;A:钙黄绿素-可视化 RT-LAMP 自然光条件下灵敏度试验;B:RT-LAMP 琼脂糖凝胶电泳方法的灵敏度试验;C:RT-LAMP-LFD 检测方法的灵敏度试验;D:RT-PCR 方法的灵敏度试验。

图 6 CSFV RT-LAMP-LFD 检测方法灵敏度分析 Fig. 6 The sensitivity of CSFV RT-LAMP-LFD detection method

2.5 CSFV RT-LAMP-LFD 检测方法的临床应用研究

将临床采集的 43 份疑似 CSFV 感染的病料进行 RT-PCR 和 RT-LAMP-LFD 方法检测。结果(表 2)显示,应用 RT-PCR 方法检测时,29 份呈阳性,阳性率为 67.4%;应用 RT-LAMP-LFD 方法检测时,31 份呈阳性,阳性率为 72.1%,二者的符合率为 93.5%。 CSFV RT-LAMP-LFD 检测方法的临床检出率更高。

表 2 CSFV RT-LAMP-LFD 检测方法的临床应用 Tab. 2 Clinical application of CSFV RT-LAMP-LFD

检测方法	阳性/份	阴性/份	阳性率/%	检测方法的 符合率/%
RT-PCR	29	14	67.4	
RT-LAMP-LFD	31	12	72.1	93.5

3 讨论

猪瘟是猪重大烈性传染病之一,在中国主要采用猪瘟兔化弱毒疫苗(HCLV)接种的方法预防和控制 CSF 的流行,但是近年来,CSF 在我国重新抬头,出现非典型、持续感染、免疫抑制的流行特征,传统疫苗的作用越来越小[11-12]。传统的诊断方法如PCR、IFA 等虽然精确,但却受制于设备的需求以及

http://xuebao.scau.edu.cn

检测耗时较长的原因而不能在基层广泛应用。因此,建立一种新型、快速、简便的猪瘟检测方法对基层猪瘟预防和诊断具有重大意义。

本研究采用 RT-LAMP 和横向流动试纸条 (LFD) 技术相结合的方法,建立一种 CSFV RT-LAMP-LFD 检测方法,该法只需在水浴锅中恒温 60 ℃反应 50 min,然后通过标记的探针在密闭的横 向流动试纸条杂交,5 min 后用肉眼就可观察到检测 结果。整个过程可在1h之内完成,且无需特殊设备 要求。目前 CSFV 国标的检测方法是间接免疫荧光 方法,该方法是基于检测 CSFV 表面抗原蛋白进行 的。在实际应用中,间接免疫荧光方法存在耗时较 长,操作复杂等弊端,比较难以具体开展。而本研究 所建立的 CSFV RT-LAMP-LFD 检测方法是基于病毒 核酸检测,因此我们选择与行业中常用的而又较易 开展的核酸检测方法 RT-PCR 方法进行平行比较。 旨在通过比较其对病毒核酸方面的检测时间、可操 作性及临床应用效果,探索一种可在基层场地对临 床病料进行实时便捷分析的检测方法。与传统 CSF 诊断方法相比,本试验建立的方法并不需要特殊设 备要求,与RT-PCR相比,检测时间大大缩短,灵敏度 高了10倍,跟钙黄绿素 - 可视化 RT-LAMP 方法相 比,消除了因为肉眼观察颜色导致人为误差,而且试 纸条是在密闭容器里完成,因此也没有其他因外加 荧光染料导致的 RT-LAMP 产物的污染产生的误差, 避免了假阳性产生。因此对于基础临床病料诊断具 有良好的应用前景。

由于该方法是针对 CSFV NS5B 基因设计的引物,而 CSF 强弱毒株基因组 NS5B 序列上没有太大的区别,所以本研究所建立方法不能用于区分 CSFV 强弱毒株,对于该方法在强弱毒株的鉴别方面的不足,我们需对强弱毒株的基因组进行进一步分析,并探索可用于 RT-LAMP-LFD 检查方法的新引物。

RT-LAMP 引物的设计是整个检测方法的关键, 好的引物能够保证检测结果的准确性。本试验首先 对设计的针对 CSFV NS5B 基因的 RT-LAMP 引物进 行筛选,结果表明,所设计的针对 CSFV NS5B 基因的 特异性引物具有良好的特异性,并不与其他病原产 生阳性反应。有研究表明,RT-LAMP 的反应条件和 体系也直接影响了检测的特异性和敏感度,如内外 引物的浓度、Mg²⁺浓度以及酶浓度等^[9,13]。因此本 试验对建立的 CSFV RT-LAMP 检测方法进行体系和 条件的优化。本试验设计的1对环引物大大加快了 扩增反应的进行。有趣的是,过量的 dNTPs 和 Bst 酶 会导致反应产物浓度降低。由此可见,体系成分和 条件的优化对增加检测方法的灵敏度和特异性很有 必要。另外在临床病料检测试验过程中,发现 CSFV RT-LAMP-LFD 检测方法比 RT-PCR 的临床检出率更 高。

我们将RT-LAMP技术与LFD技术相结合应用于对CSFV的检测,该方法可用于检测CSFV感染的组织或血清等临床样品。本试验所建立的CSFVRT-LAMP-LFD检测方法旨在探索一种可在基层场地对正常与疑似CSFV感染猪进行实时便捷诊断的检测方法,其应用价值主要在于CSFV猪瘟病毒感染猪的初步诊断、进出口贸易中CSF的快速筛查以及无CSF疫苗免疫猪场的CSF净化。这对于开发CS-FV感染的新型诊断工具,具有良好的应用前景。

参考文献:

[1] FLORES-GUTIERREZ G H, INFANTE F. Resolution of a classical swine fever outbreak in the United States-Mexico

- border region [J]. Transbound Emerg Dis, 2008, 55 (9/10): 377-381.
- [2] LOHSE L, NIELSEN J, UTTENTHAL A. Early pathogenesis of classical swine fever virus (CSFV) strains in Danish pigs[J]. Vet Microbiol, 2012, 159(3/4): 327-336.
- [3] DIAS N L, FONSECA J A, OLIVEIRA A M, et al. Validation of a real time PCR for classical swine fever diagnosis [J/OL]. Vet Med Int, 2014-04-09 [2015-04-13]. http://dx.doi.org/10.1155/2014/171235.
- [4] 刘坤,兰邹然,姜平. 猪瘟病毒分子生物学及检测技术研究进展[J]. 动物医学进展, 2012,33(10): 99-104.
- [5] 温国元,李坤,邵华斌,等. 猪瘟病毒 E2 蛋白的原核表达及抗体间接 ELISA 检测方法的建立[J]. 湖北农业科学, 2009,48(11): 2632-2635.
- [6] 杨宗照,王剑峰,谢正,等. 猪瘟病毒强弱毒株通用性 RT-PCR 检测方法研究进展[J]. 中国动物检疫, 2012, 29(11): 71-76.
- [7] 王向鹏,张兴娟,孙元,等. 六种检测猪瘟病毒方法的 比较[J]. 微生物学报, 2010,50(8): 1087-1093.
- [8] 张朝红,张彦明,张永国,等. 猪瘟病毒 4 种检测方法的 比较[J]. 西北农林科技大学学报(自然科学版), 2007,35(5): 24-28.
- [9] NOTOMIT O H M H. Loop-mediated isothermal amplification of DNA [J]. Nucleic Acids Res, 2000, 28 (12): e63.
- [10] GLYNOU K, IOANNOUP C, CHRISTOPOULOS T K, et al. Oligonucleotide-functionalized gold nanoparticles as probes in a dry-reagent strip biosensor for DNA analysis by hybridization [J]. Anal Chem, 2003, 75 (16): 4155-4160.
- [11] JOHNS H L, BENSAUDE E, LA ROCCA S A, et al. Classical swine fever virus infection protects aortic endothelial cells from pIpC-mediated apoptosis[J]. J Gen Virol, 2010, 91: 1038-1046.
- [12] SUN J, JIANG Y, SHI Z, et al. Proteomic alteration of PK-15 cells after infection by classical swine fever virus [J]. J Proteome Res, 2008, 7(12); 5263-5269.
- [13] NAGAMINE K, HASE T, NOTOMI T. Accelerated reaction by loop-mediated isothermal amplification using loop primers [J]. Mol Cell Probes, 2002, 16(3): 223-229.

【责任编辑 柴 焰】